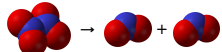


Elementární reakce

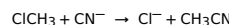
1/17
AB18,μ02

je reakce, kde stechiometrický zápis vystihuje mechanismus

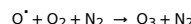
- reakce monomolekulární (rozpad molekuly, radioaktivní rozpad, nekatalyzované izomerizace, vznik karbokationtu v S_N1)



- reakce bimolekulární (srážka, reakce s katalyzátorem, S_N2) – nejčastější



- reakce trimolekulární – vzácné



(N_2 odnáší přebytečnou energii)

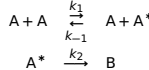
credit: N_2O_4 , NO_2 Wikipedia

Lindemannův(-Hinshelwoodův) mechanismus

6/17
AB18,μ02



V plynné fázi dochází k nepružným srážkám, které aktivují molekuly.

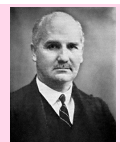


$$c_{A^*} \ll c_A \Rightarrow \text{stacionární stav } \frac{dc_{A^*}}{dt} = 0 \Rightarrow$$

$$\frac{dc_A}{dt} = \frac{dc_B}{dt} = k_2 c_A^* = k_2 \frac{k_1 c_A^2}{k_2 + k_{-1} c_A}$$

$$k_{-1} c_A \gg k_2 \quad (\text{běžné tlaky}): \frac{dc_B}{dt} = \frac{k_2 k_1}{k_{-1}} c_A \quad \text{první řád}$$

$$k_{-1} c_A \ll k_2 \quad (\text{nízké tlaky}): \frac{dc_B}{dt} = k_1 c_A^2 \quad \text{druhý řád}$$



Frederick Alexander Lindemann, 1st Viscount Cherwell
"bombing must be directed to working class houses. Middle class houses have too much space round them, so are bound to waste bombs"

credit: Wikipedia

(Hyper)plocha potenciální energie

plot/coord.sh 2/17
AB18,μ02

Jádra jsou mnohem těžší než elektrony \Rightarrow elektronové pohyby jsou mnohem rychlejší (tzv. Bornová-Oppenheimerova approximace)

potential energy surface (PES)

energie jako funkce souřadnic poloh všech atomových jader

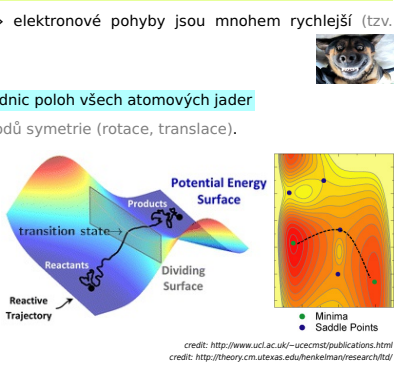
Přesněji: po odstranění redundantních z důvodů symetrie (rotace, translace).

Reakce probíhá čestou nejménšího odporu = přes sedlový bod (přesněji: v jeho blízkosti) = **tranzitní stav**.

Chybí tunelování (ryze kvantový jev).

Představa „rovnováhy“ mezi reaktanty a tranzitním stavem (teorie tranzitního stavu, H. Eyring, M. G. Evans, M. Polanyi, 1935):

$$k = K \frac{RT}{NAh} \exp\left(-\frac{G_m^t - G_{\text{reaktanty}}}{RT}\right)$$



credit: http://www.ucl.ac.uk/~ucecmst/publications.html

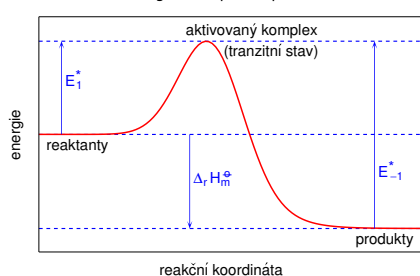
credit: http://theory.cm.utexas.edu/henkelman/research/tfd/

Závislost rychlosti reakce na teplotě (Arrhenius)

3/17
AB18,μ02

$$\frac{d \ln K}{dT} = \frac{\Delta_r H_m^\ddagger}{RT^2} \stackrel{\Delta_r H_m^\ddagger = \text{const}}{\Rightarrow} K = K_0 e^{-\frac{\Delta_r H_m^\ddagger}{RT}} = \frac{k_1}{k_{-1}} \frac{A_1 e^{-\frac{E_1^*}{RT}}}{A_2 e^{-\frac{E_{-1}^*}{RT}}} \Rightarrow k = Ae^{-\frac{E^*}{RT}}$$

E^* = aktivační energie, A = předexponenciální (frekvenční) faktor



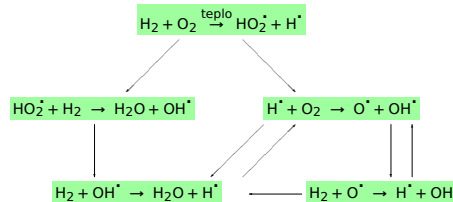
- $\Delta_r H_m^\ddagger = E_1^* - E_{-1}^*$
- Typické hodnoty E^* : 50–110 kJ mol⁻¹
- Pravidlo:** 1.5–3× na $\Delta T = 10$ K
- Arrheniovské chování:** vizkozita, difuzivita, elektrická vodivost roztoků a tavenin
- Kinetická teorie plynů: molekuly jsou tuhé koule, mají-li dost kinetické energie vzhledem k těžišti, zreagují: $k = 2NA\sigma(RT/\pi M)^{1/2} \exp(-E^*/RT)$
- Rozměr: hmotnost^{1/2} délka

Reakční mechanismy

4/17
AB18,μ02

Není-li reakce elementární, pak je sledem elementárních reakcí. Tomuto sledu říkáme **mechanismus reakce**.

Příklad: $2 H_2 + O_2 \rightarrow 2 H_2O$



radikál A^*

aktivovaná molekula A^* (energeticky bohatá; lokální minimum energie)
aktivovaný komplex (tranzitní stav) AB^* aj. (sedlový bod)

Reakční mechanismy

5/17
AB18,μ02

Při výpočtu se potřebujeme zbavit neznámých nestálých meziproduktů.

- princip řídícího děje**
hledáme děj, který má rozhodující vliv na rychlosť
– nejrychlejší (např. z bočních reakcí)
– nejzpomalejší (z následujících reakcí)

- princip (Bodensteinův) ustáleného (stacionárního) stavu**
koncentrace nestálých meziproduktů rychle nabudou ustálených hodnot, které se již mění jen pomalu

$$\text{např.: } A \rightleftharpoons A^* \rightarrow B \quad \frac{dc_{A^*}}{dt} \approx 0$$



- princip předřazené rovnováhy**
je-li součástí řetězce reakcí vratná reakce, můžeme spočítat rovnováhu, např.:

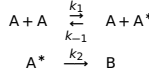


Lindemannův(-Hinshelwoodův) mechanismus

6/17
AB18,μ02



V plynné fázi dochází k nepružným srážkám, které aktivují molekuly.



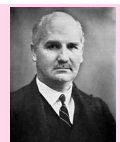
$$c_{A^*} \ll c_A \Rightarrow \text{stacionární stav } \frac{dc_{A^*}}{dt} = 0 \Rightarrow$$

$$\frac{dc_A}{dt} = \frac{dc_B}{dt} = k_2 c_A^* = k_2 \frac{k_1 c_A^2}{k_2 + k_{-1} c_A}$$

$$k_{-1} c_A \gg k_2 \quad (\text{běžné tlaky}): \frac{dc_B}{dt} = \frac{k_2 k_1}{k_{-1}} c_A \quad \text{první řád}$$

$$k_{-1} c_A \ll k_2 \quad (\text{nízké tlaky}): \frac{dc_B}{dt} = k_1 c_A^2 \quad \text{druhý řád}$$

Např.: cyklopantan \rightarrow propen, $N_2O_5 \rightarrow NO_2 + NO_3$
 CH_3-N-CH_3 (dimethyl diazen, azomethan) $\rightarrow C_2H_6 + N_2$



Frederick Alexander Lindemann, 1st Viscount Cherwell
"bombing must be directed to working class houses. Middle class houses have too much space round them, so are bound to waste bombs"

credit: Wikipedia

Řetězové reakce

7/17
AB18,μ02

Sled reakcí, při kterých se obnovují reaktivní meziprodukty (obv. radikály)

- iniciace (vznik radikálu/ů)

- tepelná (termická)
- chemická (peroxidu)
- fotoiniciace

- propagace (cyklická reakce s obnovou radikálů)

- s nerozvětveným řetězcem (počet cyklů = kinetická délka řetězce)
- s rozvětveným řetězcem

- terminace (zánik radikálu/ů)

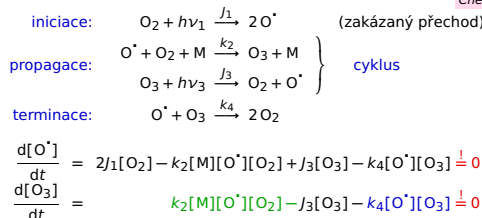
- rekombinace
- reakce (málo reaktivní radikál – inhibice)
- náraz na stěnu

Příklad: ozonová vrstva

8/17
AB18,μ02

Zjednodušené schéma tvorby ozonu ve stratosféře:

podle Zellner R.: J. Anal. Chem. 340, 627 (1991).



$$\text{rovnice se čteme: } 2j_1[O_2] - 2k_4[O^\cdot][O_3] = 0 \Rightarrow [O^\cdot] = \frac{j_1[O_2]}{k_4[O_3]}$$

$$\text{a dosadíme za } [O^\cdot] \text{ do druhé rovnice: } k_2[M]/\frac{j_1[O_2]}{k_4[O_3]} - j_3[O_3] - j_1[O_2] = 0$$

$$\text{Zjednodušení: } k_2[M][O^\cdot][O_2] \approx j_3[O_3] \gg k_4[O^\cdot][O_3] = j_1[O_2] \approx 0 \quad (\text{cyklus je dlouhý})$$

Příklad: ozonová vrstva II

9/17
AB18,μ02

Podmínka stacionárního stavu:

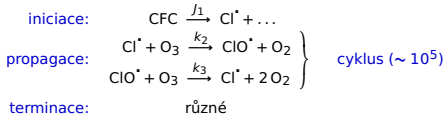
$$k_2[M]/\frac{j_1[O_2]}{k_4[O_3]} - j_3[O_3] - j_1[O_2] = 0$$

\Rightarrow stacionární koncentrace ozonu:

$$[O_3] = [O_2] \sqrt{\frac{j_1 k_2 [M]}{j_3 k_4}}$$

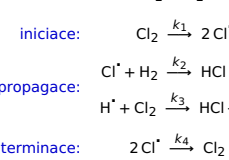
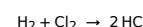
Zjednodušené schéma ničení ozonové vrstvy:

CFC = chlorofluorocarbon



Řetězové reakce – příklad

cd ..//maple; xmaple H2+Cl2kin.mw 10/17
AB18,μ02



- napišeme kinetické rovnice pro oba radikály

- rovnice řešíme, např. takto:
– rovnice se čteme, tím získáme poměr c_{Cl^\cdot}/c_H
– dosadíme do druhé rovnice

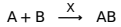
- výsledné c_{Cl^\cdot} a c_H dosadíme do rychlosti vzniku HCl:

$$\frac{dc_{HCl}}{dt} = k_2 c_{Cl^\cdot} c_{H_2} + k_3 c_H c_{Cl_2} \quad \text{princip ustáleného stavu} = 2k_2 \sqrt{\frac{k_1}{k_4}} c_{Cl_2}^{1/2} c_{H_2}$$

> restart;
> with(RealDomain);
> r1 := k1*(Cl2-H2)*Cl2 + K3*H*Cl2 - 2*k4*Cl2^2;
> r2 := K2*Cl1*H2 - K3*H*Cl12;
> res := solve({r1=0, r2=0}, {Cl1, H});
> evalf(res);
> assign(allvalues(res));
> H;

Homogenní katalýza I

11/17
AB18,μ02



princip ustáleného stavu $\frac{dc_{AX}}{dt} = 0$ (protože $c_X, c_{AX} \ll c_A, c_B$):

$$\frac{dc_{AX}}{dt} = k_1 c_A c_X - k_{-1} c_{AX} - k_2 c_B c_{AX} \stackrel{!}{=} 0 \Rightarrow c_{AX} = \frac{k_1 c_A c_X}{k_{-1} + k_2 c_B}$$

katalyzátor je obvykle **málo nasycený**, takže $c_{AX} \ll c_X$ a $c_X \approx c_{X0}$ (neboli k_1 je „velmi malé“, přesněji $k_1 c_A \ll k_{-1} + k_2 c_B$)

$$\frac{dc_{AB}}{dt} = -\frac{dc_A}{dt} = \frac{k_1 k_2 c_X}{k_{-1} + k_2 c_B} c_{ACB} \approx \frac{k_1 k_2 c_{X0}}{k_{-1} + k_2 c_B} c_{ACB}$$

pro skoro **nasycený katalyzátor** ($c_{AX} \approx c_X$) uvažujeme i bilanci $c_X + c_{AX} = c_{X0}$

$$\frac{dc_{AB}}{dt} = \frac{k_1 k_2 c_{X0}}{k_{-1} + k_2 c_B + k_1 c_A} c_{ACB}$$

Homogenní katalýza II

12/17
AB18,μ02

Arrhenius: $k = A \exp(-E^*/RT)$. Předexponenciální faktory bývají řádově stejné, tedy **zvýšení bariéry → snížení rychlosti**.

$$\frac{dc_{AB}}{dt} = -\frac{dc_A}{dt} = \frac{k_1 k_2 c_X}{k_{-1} + k_2 c_B} c_{ACB} \approx \frac{k_1 k_2 c_{X0}}{k_{-1} + k_2 c_B} c_{ACB}$$

$k_{-1} \gg k_{2CB}$

$$\frac{dc_A}{dt} = -\frac{k_1 k_2 c_{X0}}{k_{-1}} c_{ACB}$$

Druhý řád (AX = meziprodukt Arrheniova typu) $K = k_1/k_{-1}$.

$k_{-1} \ll k_{2CB}$

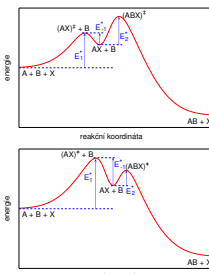
$$\frac{dc_A}{dt} = -k_1 c_{X0} c_A$$

První řád (AX = meziprodukt van 't Hoffova typu)

$k_1 c_A \gg k_{2CB}, k_1 c_A \gg k_{-1}$ (nasycený katalyzátor)

$$\frac{dc_A}{dt} = -k_2 c_{X0} c_B$$

První řád (typické pro enzymovou katalýzu – viz dále)

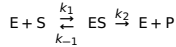


Enzymová katalýza

13/17
AB18,μ02

Mechanismus Michaelise a Mentenové

E=Enzym, S=Substrát, P=Produkt



princip ustáleného stavu (protože $c_E, c_{ES} \ll c_S$):

$$\frac{dc_{ES}}{dt} = k_1 c_E c_S - (k_{-1} + k_2) c_{ES} = 0$$

bilance: $c_E + c_{ES} = c_{E0}$ (2 rovnice o 2 neznámých)

Dosadíme (eliminujeme) $c_E = c_{E0} - c_{ES}$ a z $\frac{dc_P}{dt} = \frac{dc_E}{dt}$ (nebo $-dc_S/dt$):

$$\frac{dc_P}{dt} = k_2 c_{ES} = k_2 \frac{c_{E0} c_S}{k_1 + k_{-1} + c_S} = v_{max} \frac{c_S}{K_M + c_S} = k_2 \frac{c_{E0}}{K_M / c_S + 1}$$

kde $K_M = \frac{k_2 + k_{-1}}{k_1}$ je **Michaelisova konstanta** a $v_{max} = k_2 c_{E0}$ je maximální rychlosť (nasyc. enzym)

$c_S \gg K_M \Rightarrow \frac{dc_S}{dt} = -v_{max}$ (0. řád, většina E je ve formě ES)

$c_S \ll K_M \Rightarrow \frac{dc_S}{dt} = -\frac{v_{max}}{K_M} c_S$ (1. řád, většina E je ve formě E)

Michaelis-Mentenová II

14/17
AB18,μ02

Experimentálně dostupné: K_M a $v_{max} = k_2 c_{E0}$ (často ne c_{E0} a k_2 zvlášť)

$$\frac{dc_S}{dt} = -v_{max} \frac{1}{K_M / c_S + 1}$$

Integrovaný tvar

$$K_M \ln \frac{c_{S0}}{c_S} + c_{S0} - c_S = v_{max} t$$

neexistuje vyjádření $c_S(t)$ (pomocí elementárních funkcí) – nutno numericky



Odbourávání alkoholů

15/17
AB18,μ02

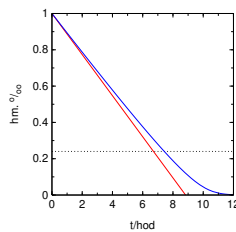
Alkohol dehydrogenáza, různé druhy, u lidí obsahuje Zn

V játrech a okolo žaludku

Oxidace dále pokračuje na kyseliny až $H_2O + CO_2$



credit: wikipedia



Příklad. Za jak dlouho klesne obsah alkoholu z $c_{S0} = 1 \text{ hm. \%}$ na $c_S = 0.24 \text{ hm. \%}$? Data: $v_{max} = 0.12 \text{ g L}^{-1} \text{ hod}^{-1}$, $K_M = 0.06 \text{ g L}^{-1}$, $\rho_{rev} = 1.06 \text{ g cm}^{-3}$,

jiná data: $K_M = 0.02\text{--}0.05 \text{ g L}^{-1}$, nutný i model absorpcie v těle!

$$\rho_{rev} = 1.06 \text{ g cm}^{-3} \Rightarrow 1 \text{ hm. \%} = 1.06 \text{ g L}^{-1}$$

$$0. \text{ řád: } t = \frac{c_{S0} - c_S}{v_{max}} = \frac{(1 - 0.24) \times 1.06}{0.12} \text{ h} = 6.7 \text{ h}$$

$$\text{Přesněji: } t = \frac{K_M \ln \frac{c_{S0}}{c_S} + c_{S0} - c_S}{v_{max}} = 7.4 \text{ h}$$

Fotochemické reakce

16/17
AB18,μ02

Energie fotonu = $h\nu$ = zdroj energie reakce

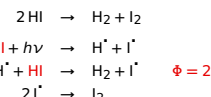
Planckova konstanta: $h = 6.62607 \times 10^{-34} \text{ J s}$

Kmitočet ν , vlnočet $\tilde{\nu} = 1/\lambda$, vlnová délka λ . Platí: $c = \lambda\nu$.

Kvantový výstěžek reakce

$$\Phi = \frac{\text{počet zreagovaných molekul výchozí látky}}{\text{počet absorbovaných fotonů}}$$

U řetězového průběhu $\Phi > 1$. Příklad:



Příklad. Kolik HI se rozloží absorpcí energie 100 J ve formě fotonů o vlnové délce 254 nm?

r>! Planckova konstanta

r>h 6.6260701e-34 [J s]

r>! rychlosť světla

r>c 2.997246e+08 [m s⁻¹]

r>NA 1.6221408e+23 [mol⁻¹]

r>! Vlnová délka

r>lambda=254[nm]

2.54e-07 [m]

r>! energie fotonu

r>E=h*c/lambda 7.820653e-19 [J]

r>! pocet fotonu

r>Nnu=100[J]/Enu 1.2786656e+20

r>! pocet rozložených HI

r>NNH=2*Nnu 2.5573312e+20

r>! latkové množství HI

r>NH=NNH/NA 0.00042465484 [mol]

r>■

Příklad na Arrheniův vztah

17/17
AB18,μ02

Difuzivita vody se chová přibližně arrheniovsky. Za teploty 0 °C je rovna $1.29 \times 10^{-9} \text{ m}^2 \text{ s}^{-1}$ a za teploty 20 °C je rovna $2.02 \times 10^{-9} \text{ m}^2 \text{ s}^{-1}$. Vypočtěte aktivační energii a srovnejte ji s energií vodíkové vazby 21 kJ mol^{-1} .

$$D_1 = A \exp(-E^*/RT_1)$$

$$D_2 = A \exp(-E^*/RT_2)$$

$$\ln(D_1/D_2) = -\frac{E^*}{R} \left(\frac{1}{T_1} - \frac{1}{T_2} \right)$$

$$E^* = \frac{R \ln(D_1/D_2)}{1/T_2 - 1/T_1} = 14928 \text{ J mol}^{-1} \doteq 15 \text{ kJ mol}^{-1}$$

Experimentálně dostupné: K_M a $v_{max} = k_2 c_{E0}$ (často ne c_{E0} a k_2 zvlášť)

14/17
AB18,μ02

Integrovaný tvar

$$K_M \ln \frac{c_{S0}}{c_S} + c_{S0} - c_S = v_{max} t$$

neexistuje vyjádření $c_S(t)$ (pomocí elementárních funkcí) – nutno numericky